

**快报**

**$^{12}\text{C}$ (15—45MeV/ $A$ ) +  $^{63}\text{Cu}$  反应碎块  
质量分布与入射能依赖性的统计描述\***

戚大海 萨本豪

(中国原子能科学研究院,北京)

**摘要**

本文用平衡统计模型成功地描写了中能重离子反应( $15$ — $45\text{MeV}/A$   $^{12}\text{C} +$   $^{63}\text{Cu}$ )中形成的热复合核的破碎过程, 得到的碎块质量分布随入射能变化的特征, 较好地再现了相应的实验结果。

**一、引言**

在入射能量为  $20\text{MeV}/A$ — $200\text{MeV}/A$  的中能重离子核反应中, 对余核破碎后各种分布(质量分布等)的研究, 不仅能够提供反应动力学由单体平均场机制到核子-核子碰撞两体机制演化的信息, 而且有助于澄清非完全融合的热复合核的形成及其衰变模式。

在文献[1]中我们已经指出, 描写热复合核破碎的平衡统计模型<sup>[1,2]</sup>, 有可能普遍地用于中能重离子反应, 与具体的人射能关系不大; 虽然热核破碎的各种分布与入射能(通过热核激发能)可能有强烈的依赖性。

本文在  $15\text{MeV}/A$ — $45\text{MeV}/A$  的能区中系统地研究了重离子  $^{12}\text{C} +$   $^{63}\text{Cu}$  反应的质量分布与入射能的关系, 得到了与实验<sup>[3,4]</sup>相一致的结果; 从而验证了我们的上述论点。

**二、平衡统计模型**

着眼于反应末态产物的研究, 这里对中能重离子反应的描写分为两步。即初始相互作用与热复合核的形成及其破碎。

**1. 热复合核的形成**

线性动量转移的实验事实<sup>[3]</sup>表明, 中能核-核碰撞中(特别是对于弹核轻于靶核的系统), 由非完全融合形成热复合核。热复合核可描述为由靶核子及弹靶重迭区中弹的核子共同构成。对于给定碰撞参数  $b$ , 热复合核中来自弹核的核子数目为:

本文 1989 年 11 月 20 日收到。

\* 国家自然科学基金资助项目。

$$N_p(b) = \rho_0 \int d\nu \theta(R_p - [x^2 + (b-y)^2 + z^2]^{1/2}) \theta(R_T - [x^2 + y^2]^{1/2}), \quad (1)$$

其中  $\rho_0 = 0.16 \text{ fm}^{-3}$  正常核物质密度。 $\theta$  为阶梯函数， $R_T, R_p$  分别为靶与弹核的半径。碰撞参数  $b$  可在  $[0, b_{\max} = R_T + R_p]$  区间根据平方律抽样得到。用以与实验比较的各种分布均是对碰撞参数平均后的结果。

$N_p(b)$  中质子数与中子数各为多少是根据：质子数小于中子数但尽可能接近原则来确定的（适用于弹核轻于  ${}^{40}\text{Ar}$  的情形）。这样热复合核系统就完全确定了。

## 2. 热复合核的破碎

假设初始相互作用后弹旁观体（由弹靶重迭区以外的弹核子构成）以入射速度沿束流方向飞出，根据非相对论性的动量-能量守恒及质量平衡可导出有效反应能为<sup>[1,5]</sup>：

$$E_{\text{avai}} = E_k + Q, \quad (2)$$

$$E_k = N_p / A_p * \frac{A_T}{A_T + N_p} * E_{\text{in}}, \quad (3)$$

其中， $Q$  为反应能， $E_{\text{in}}$  为入射总能量， $A_T$  与  $A_p$  分别为靶与弹核的质量数。

考虑到热复合核从形成到碎裂态（freezeout），要经过膨胀等过程，消耗掉部分有效反应能，转化为热核激发能的只是有效反应能的一部分，若此部分记为  $C_f$ ，则热核激发能为

$$E^* = C_f * E_{\text{avai}}. \quad (4)$$

具有激发能  $E^*$  和膨胀后半径参数  $R_{T0}$  ( $R_{T0} > r_0 = 1.18 \text{ fm}$ ) 的热核立即破碎为带电碎块和中子。各种各样的破碎状态构成微正则系综。于是采用建立在微正则系综分布、Monte-Carlo 方法和 Metropolis 抽样技巧上的 MMCSF 程序<sup>[6]</sup>，来模拟破碎整个过程，并得到碎块的各种分布。

## 三、结果与讨论

在选取  $R_{T0} = 1.90 \text{ fm}$ ,  $C_f = 0.73$  的情形下，我们用 MMCSF 程序计算了  $15 \text{ MeV}/A - 45 \text{ MeV}/A$  能区中  ${}^{12}\text{C} + {}^{63}\text{Cu}$  反应的质量分布（并对碰撞参数进行过平均），得到如下结果：

图 1 为入射能  $35 \text{ MeV}/A$  时理论质量分布（锯齿线）与实验数据<sup>[3]</sup>的比较。显然在误差范围内，理论计算很好地再现了实验数据，从而再次证明平衡统计模型的可靠性。

图 2 给出了理论质量分布曲线与入射能的关系，它们具有如下特点：

1. 随着入射能的增加，质量分布曲线逐渐变宽，而且峰位向低质量区移动。
2. 质量分布曲线的谷区在  $A_f = 30 - 40$  之间，且随入射能的增加，谷区的位置和深度分别向低质量区移动和减小。
3. 质量分布曲线上中等质量区的曲线斜率随入射能的增加而减小。（见图 3）

这些特点与实验结果<sup>[4]</sup>符合得相当好。

综上所述，平衡统计模型可以很好地描写中能核-核碰撞中形成的热复合核的破碎过

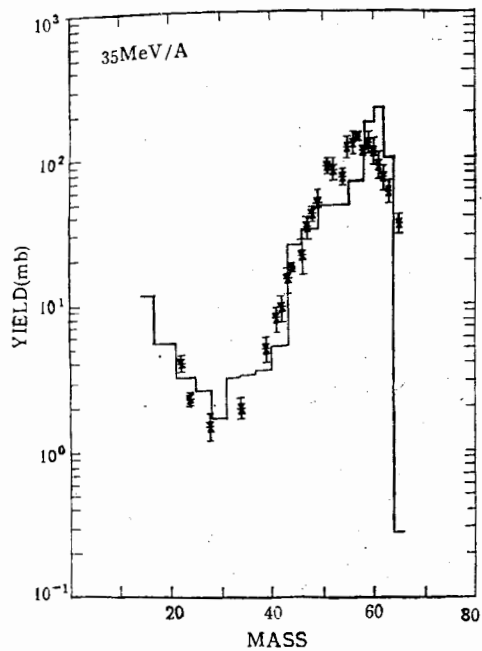


图1 入射能  $35\text{MeV}/A$  理论质量分布曲线与实验比较  
■ EXPERIMENTAL — THEORETICAL

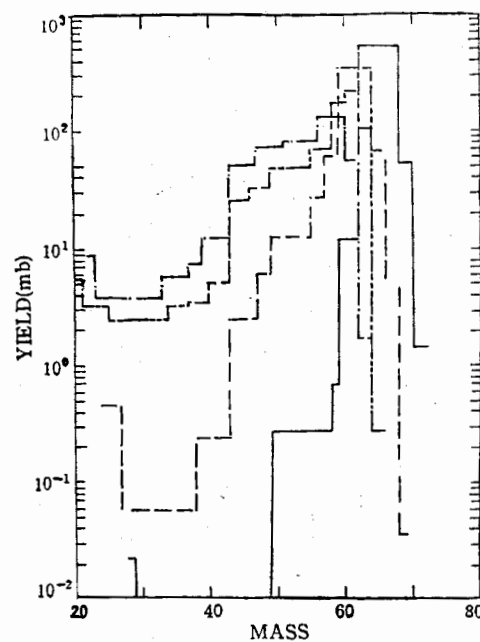


图2 质量分布随入射能变化  
—  $15\text{MeV}/A$  - -  $25\text{MeV}/A$   
- · -  $35\text{MeV}/A$  - · -  $45\text{MeV}/A$

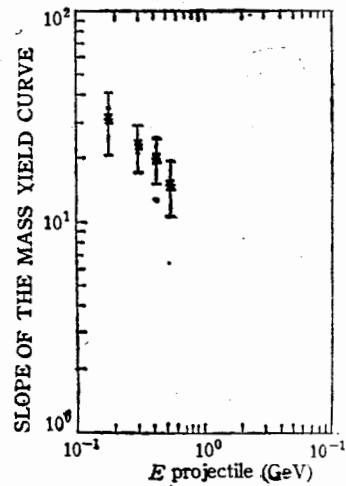


图3 质量分布曲线斜率随入射能变化  
■ EXPERIMENTAL ● THEORETICAL

程。反应产物质量分布与入射能关系的理论结果与实验符合，表明了热复合核破碎的统计描述与核-核碰撞的入射能关系不大。

必须指出：以上为节省计算机时间，是通过调节入射能量为  $35\text{MeV}/A$  的理论质量分布与相应数据的较好符合而得到参数值—— $R_{T0} = 1.90_{\pm 0.05}$ ,  $C_f = 0.73$ ；然后固定这组

参数而研究质量分布与入射能的关系。倘若对各个人射能量都先调好质量分布（即用不同的参数值），那么质量分布与入射能量关系的实验事实，将被再现得更好。

### 参 考 文 献

- [1] Sa Ben-Hao et al., To appear in Phys. Rev. C
- [2] Sa Ben-Hao and D. H. E. Gross, *Nucl. Phys.*, **A437** (1985), 643.
- [3] S. Y. Cho et al., *Phys. Rev.*, **C39** (1989), 2227.
- [4] S. Y. Cho et al., *Phys. Rev.*, **C36** (1987), 2349.
- [5] S. Leray, *J. Phys.*, **C4**(1986), 175.
- [6] Zhang Xiao-Ze et al., *Nucl. Phys.*, **A461** (1987), 668.

## STATISTICAL DESCRIPTION OF THE INCIDENT ENERGY DEPENDENCE OF MASS YIELD DISTRIBUTION OF FRAGMENTS IN $^{12}\text{C}(15\text{--}45\text{MeV}/A)+^{63}\text{Cu}$ REACTIONS

QI DAHAI SA BENHAO

*(Institute of Atomic Energy, Beijing)*

### ABSTRACT

In this paper a statistical model is successfully used to describe the disassembly of hot nucleus created in intermediate energy heavy ion collisions ( $15\text{--}45\text{MeV}/A$   $^{12}\text{C}+^{63}\text{Cu}$ ). The results of the dependence of mass yield distribution of the fragments on the incident energy are consistent with experimental data quite well.